

1544-GP-OS-207.- Caliza oolítica del Jurásico Superior cabalgando sobre las calizas margosas, blancas con sí - lex del Aptense-Cenomanense. Carretera Ronda-El Burgo - Km. 15.



1544-GP-OS-208.- Sierra Blanquilla.- Afloramientos Jurá sicos y Cretácicos del Subbético Interno.



1544-GP-OS-209.- Valle de Lifa. Panorámica general. En primer término calizas margosas "capas rojas", Cretácico Superior. Al fondo el "Complejo Dorsaliano" de la - Sierra de las Nieves.



1544-GP-OS-210.- Pliegue en "capas rojas". Cretácico Superior.



1544-GP-OS-211.- Pliegue en "Capas rojas". Cretácico Superior.



1544-GP-OS-212.- Anticlinal volcado. "Capas rojas". Cretácico Superior.



1544-GP-OS-213.- Margas rojas. Eoceno-Oligoceno. Al fondo Sierra Prieta (Complejo Dorsaliano).

3.- FORMACIONES TECTO-SEDIMENTARIAS. "ARCILLAS CON BLOQUES".



1544-GP-OS-214.- Afloramiento de "Arcillas con Bloques". Mioceno Inferior.



1544-GP-OS-215.- Afloramiento de "Arcillas con Bloques". Mioceno Inferior.



1544-GP-OS-216.- Pequeños "flute marks" en un bloque de arenisca de la formación "Arcillas con Bloques".



1544-GP-OS-217.- Bloque de "Caliza con restos de Microcodium" donde se observan "pistas" de reptación. Formación Tecto-Sedimentaria del neonumídico.

1.- ZONA CIRCUMBETICA. COMPLEJO PREDORSALIANO. FLYSCH DE ALGECIRAS.



1544-GP-OS-218.- Bloque de arenisca entre las arcillas de la formación Tecto-Sedimentaria del neonumídico.



1544-GP-OS-219.- Alternancia de margas y finas capas de areniscas calcareas. Flysch de Algeciras. Oligoceno.



1544-GP-OS-220.- Alternancia de margas, arcillas y areniscas calcareas. Flysch de Algeciras. Oligoceno.



1544-GP-OS-221.- "Flute marks" en banco de calcorenitas. Flysch de Algeciras. Oligoceno.



1544-GP-OS-222.- Estrato de calcorenita del tramo "Arenisco̲so micaceo". Flysch de Algeciras. Oligoceno supe̲rior-Mioceno Inferior.



1544-GP-OS-223.- Estrato de calcarenita del tramo "Areniscoso micaceo". Flysch de Algeciras. Oligoceno Superior-Mioceno Inferior.

4.- FORMACIONES POST-MANTO. MIOCENO DE LA CUENCA DE RONDA



1544-GP-OS-224.- Vista general de la Ciudad de Ronda y su célebre Tajo,. La parte inferior del mismo (40 m.) la constituye la Formación Tajo; la parte superior la Formación Setenil.



1544-GP-OS-225.- Contacto discordante entre el Jurásico del Subbético Interno y las facies de borde de cuenca - del Mioceno de Ronda (en la parte superior se observa - un depósito de canal). Puerto de los Ladrones.



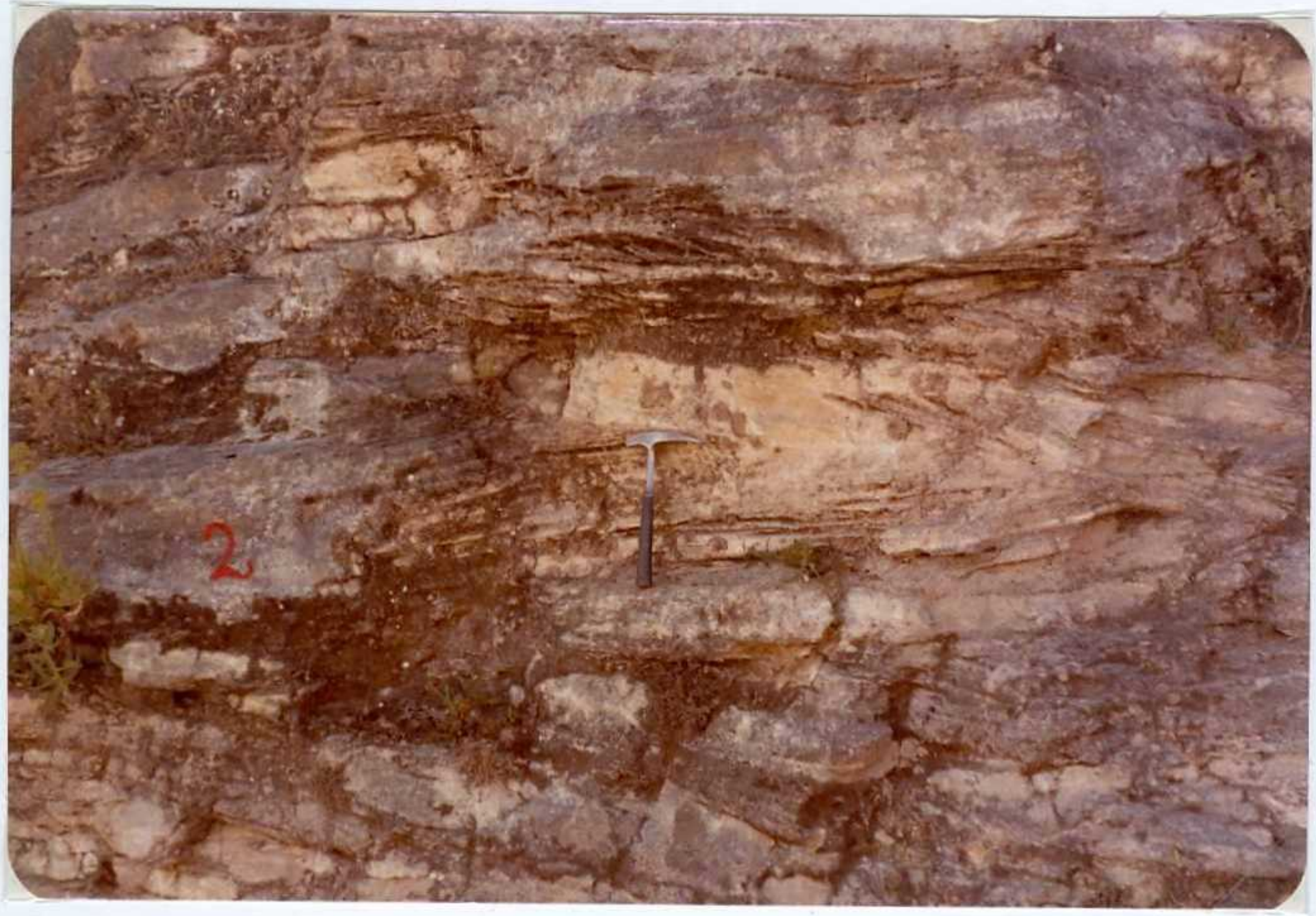
1544-GP-OS-226.- "Herringbone" en conglomerado de la facies de borde de cuenca del Mioceno de Ronda. Puerto de los Ladrones.



1544-GP-OS-227.- Estratificación "wavy" con superficie de reactivación; hay "sigmoides" a techo. Facies borde de Cuenca de Mioceno de Ronda. Puerto de los Ladrones.



1544-GP-OS-228.- "Sigmoides" y "herringbone" en conglomerados de las facies de borde de cuenca del Mioceno de Ronda. Puerto de los Ladrones.



1544-GP-OS-229.- Estratificación cruzada "herringbone" en la Formación Setenil (Mioceno de Ronda).



1544-GP-OS-230.- Estratificación cruzada, tipos de estructura "herringbone" y "sigmoides". Formación de Sete_ nil Mioceno de Ronda.



1544-GP-OS-231.- Estratificación cruzada "herringbone", "sigmoide" y pequeñas fallas gravitacionales sinsedimentarias. Formación de Setenil. Mioceno de Ronda.



1544-GP-OS-232.- Estratificación cruzada con estructura tipo "sigmoide" y "herringbone". Formación de Setenil. Mioceno de Ronda.



1544-GP-OS-233.- Estratificación cruzada tipos "sigmoide" y "herringbone", con alguna estructura de "slump" y pequeñas fallas gravitacionales sinsedimentarias.



1544-GP-234.- Estratificación cruzada tipos "herringbone" y "wavy" a techo hay un nivel biodetrítico. Formación Setenil. Mioceno de Ronda.



1544-GP-OS-235.- estratificación cruzada tipos "herring bone" y "sigmoide" con algunas pequeñas fallas sinsedimentarias. Formación Setenil. Mioceno de Ronda.



1544-GP-OS-236.- Estratificación cruzada tipos "sigmoide", "herringbone" y "wavy". Formación de Setenil. Mioceno de Ronda.



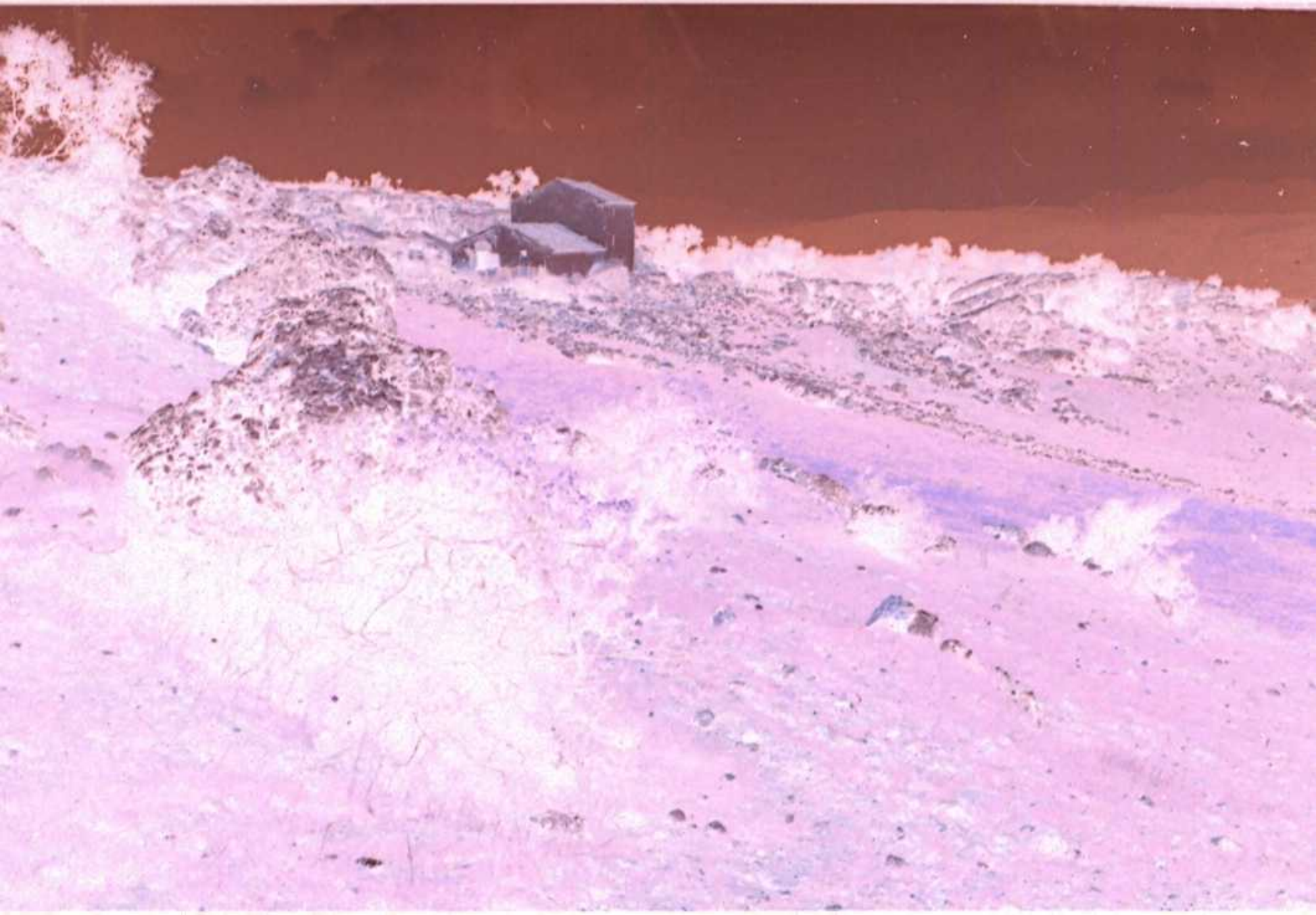
















1544-TC-FM-258.- Tramo medio del Flysch de Algeciras: arcillas rojas y verdes con capas finas carbonatadas. 5,5 Km. al Este de Ronda.



1544-TC-FM-259.- Tramo medio del Flysch de Algeciras: arcillas rojas y verdes con capas finas carbonatadas. Excavaciones realizadas 5,5 km. al Este de Ronda.





1544-TC-FM-260.- Tramo superior del Flysch de Algeciras arcillas ocres con capas de areniscas. Cortijo del Lucero 6 Km. al Este de Ronda.





1544-TC-FM-261.- Flysch de Algeciras, tramo superior de arcillas y areniscas ocres. Cercanias del Cortijo de la Hidalga, 5,5, km. al Este de Ronda.

2.- ZONA SUBBETICA. SUBBETICO INTERNO.



1544-GP-OS9201.- Cancho de la Pepa. Calizas oolíticas jurásicas que forman relieve y se apoyan sobre las calizas margosas del Cretácico Superior "capas rojas".



1544-GP-OS9202.- Cortijo del Espino. Calizas oolíticas del Jurásico Superior apoyándose sobre calizas blancas con sílex del Aptense-Cenomanense.



1544-GP-OS-9203.- Puerto del Viento. En primer término - "capas rojas". Cretácico Superior, sobre las que cabaga la caliza oolítica del Jurásico Superior, al fondo.



1544-GP-OS4204.- Puerto del Viento. Contacto entre la - caliza margosa "capas rojas" del Cretácico Superior y - las calizas blancas con silex del Aptense-Cenomanense - Al fondo calizas del Jurásico.



1544-GP-OS§205.- Visión general de afloramientos del Subbético Interno desde el Puerto del Viento. En primer término Sierra Blanquilla al fondo Mesa de Juan Pérez. Los materiales de color rojizo son claizas margosas del Cretácico Superior "capas rojas". Los de color blanco formando relieve, son calizas y dolomías del Jurásico.



1544-GP-OS9206.- Vista general de la Sierra de los Merinos (Subbético Interno). La parte inferior de la fotog. - son calizas con sílex del Aptense-Cenomanense. En el valle, zona cultivada, flysch Mioceno del Sub. Interno y - flyschs del campo de Gibraltar. Los materiales rojizos del fondo son "capas rojas" Cretácico Superior. Las masas - rocosas que forman el resalte son calizas y dolomías del Jurásico.